

На правах рукописи



МИХАЙЛЕНКО ЮЛИЯ АЛЕКСАНДРОВНА

**КОМПЛЕКСНЫЕ СОЕДИНЕНИЯ КОБАЛЬТА(II, III) И
МЕДИ(II) С МОНОЭТАНОЛАМИНОМ**

02.00.04 - физическая химия

Автореферат
диссертации на соискание ученой степени
кандидата химических наук



003478234

Кемерово-2009

Работа выполнена на кафедре химии и технологии неорганических веществ Государственного образовательного учреждения высшего профессионального образования «Кузбасский государственный технический университет».

Научный руководитель: доктор химических наук, профессор
Черкасова Татьяна Григорьевна

Официальные оппоненты: доктор химических наук, профессор
Альтшулер Генрих Наумович

кандидат химических наук, доцент
Пугачев Валерий Михайлович

Ведущая организация: ГОУ ВПО
«Томский государственный университет»

Защита диссертации состоится 22 октября 2009 г. в 10 часов на заседании совета по защите диссертаций Д 212.088.03 при ГОУ ВПО «Кемеровский государственный университет» (650043, г. Кемерово, ул. Красная, 6).

С диссертацией можно ознакомиться в библиотеке ГОУ ВПО «Кемеровский государственный университет».

Автореферат разослан «10» сентября 2009 г.

Ученый секретарь совета Д 212.088.03,
доктор физико-математических наук



А. Г. Кречетов

ОБЩАЯ ХАРАКТЕРИСТИКА РАБОТЫ

Актуальность темы. Координационные соединения с O-N-содержащими лигандами, к которым относят моноэтаноламин (МЭА), представляют теоретический и практический интерес. Внимание, уделяемое таким соединениям, связано прежде всего с их способностью менять дентатность в зависимости от условий проведения реакций, а также образовывать как моноядерные, так и полиядерные комплексы. Соединения на основе МЭА применяют в гальванотехнике для улучшения адгезии к поверхности и придания покрытиям блеска и устойчивости к коррозии, как наполнители для изготовления композиционных материалов, в качестве исходных веществ для получения высокодисперсных биметаллических соединений.

В настоящее время накопилось достаточно много теоретических и экспериментальных данных о физико-химических свойствах, составе и структурных особенностях комплексов переходных металлов. Это обусловлено тем, что многие их координационные соединения обладают высокой физиологической активностью, служат основой для создания перспективных материалов. В частности, для комплексов на основе МЭА характерна высокая противоопухолевая активность, а также бактерицидное, фунгицидное и антифитовирусное действие. Соединения кобальта и меди обладают ярко выраженным термохромным эффектом (изменением цвета образца при нагревании), обусловленный структурными изменениями внутри комплекса при изменении температуры. Некоторые из соединений кобальта и меди используют для окрашивания полимерных материалов, не теряющих яркости под воздействием света. Поэтому тема работы, связанной с изучением комплексов кобальта(II, III) и меди(II) с МЭА является актуальной.

Цель работы состояла в разработке методик синтеза моно- и полиядерных комплексов кобальта(II, III) и меди(II) с МЭА из водных растворов и изучении их состава, строения и физико-химических свойств.

Задачи исследования:

- Разработка условий синтеза и получение моно- и полиядерных комплексов кобальта(II, III) и меди(II) с МЭА из водных растворов.
- Установление состава и строения координационных соединений:
 $[\text{Co}_2(\text{OC}_2\text{H}_4\text{NH}_2)_3(\text{HOC}_2\text{H}_4\text{NH}_2)_3][\text{CoCl}_4]\text{Cl}\cdot\text{H}_2\text{O}$ (I, II, III);
 $[\text{Co}_2(\text{OC}_2\text{H}_4\text{NH}_2)_3(\text{HOC}_2\text{H}_4\text{NH}_2)_3][\text{Co}(\text{NCS})_4]\text{NCS}\cdot\text{H}_2\text{O}$ (IV);
 $[\text{Co}(\text{OC}_2\text{H}_4\text{NH}_2)_3]\cdot 3\text{H}_2\text{O}$ (V) и $[\text{Cu}(\text{OC}_2\text{H}_4\text{NH}_2)(\text{HOC}_2\text{H}_4\text{NH}_2)_2][\text{CuCl}_4]\cdot\text{H}_2\text{O}$ (VI).
- Изучение физико-химических свойств полученных веществ.

Научная новизна работы:

- Из водных растворов осуществлен синтез шести новых соединений, для трех из которых выращены монокристаллы, пригодные для расшифровки их кристаллической структуры.
- Физико-химическими методами (ИК и ЯМР спектроскопическим, рентгеноструктурным, термическим, магнетохимическим, рентгенофазовым, кондуктометрическим) изучены свойства, определены состав, способы координации и предполагаемое строение синтезированных соединений.
- Установлено, что соединение $[\text{Co}_2(\text{OC}_2\text{H}_4\text{NH}_2)_3(\text{HOC}_2\text{H}_4\text{NH}_2)_3][\text{CoCl}_4]\text{Cl}\cdot\text{H}_2\text{O}$ (I, II, III) существует в виде трех модификаций с незначительными различиями в структуре.
- Обнаружено необратимое изменение окраски $[\text{Co}_2(\text{OC}_2\text{H}_4\text{NH}_2)_3(\text{HOC}_2\text{H}_4\text{NH}_2)_3][\text{CoCl}_4]\text{Cl}\cdot\text{H}_2\text{O}$ (I, II, III) и $[\text{Co}(\text{OC}_2\text{H}_4\text{NH}_2)_3]\cdot 3\text{H}_2\text{O}$ (V).

Практическая значимость работы заключается в разработке методик синтеза из водных растворов новых моно- и полиядерных комплексов на основе хлорида кобальта(II) и меди(II) с МЭА. Предложенные методики могут быть применены в области синтеза моноэтаноламиновых комплексов. Результаты кристаллографических исследований способствуют расширению представлений о структурах моно- и полиядерных комплексов кобальта(II, III) с МЭА.

Положения, выносимые на защиту:

- Методики синтеза новых моно- и полиядерных комплексов кобальта(II, III) и меди(II) с МЭА из водных растворов.
- Результаты исследований координационных соединений методами химического, электронного, ИК и ЯМР спектроскопического, рентгенофазового, рентгеноструктурного, кондуктометрического, магнетохимического и дифференциального термического анализа.
- Кристаллографические характеристики комплексов: $[\text{Co}_2(\text{OC}_2\text{H}_4\text{NH}_2)_3(\text{HOC}_2\text{H}_4\text{NH}_2)_3][\text{CoCl}_4]\text{Cl}\cdot\text{H}_2\text{O}$ (I, II, III) и $[\text{Co}(\text{OC}_2\text{H}_4\text{NH}_2)_3]\cdot 3\text{H}_2\text{O}$ (V).
- Наличие необратимого изменения окраски $[\text{Co}_2(\text{OC}_2\text{H}_4\text{NH}_2)_3(\text{HOC}_2\text{H}_4\text{NH}_2)_3][\text{CoCl}_4]\text{Cl}\cdot\text{H}_2\text{O}$ (I, II, III) и $[\text{Co}(\text{OC}_2\text{H}_4\text{NH}_2)_3]\cdot 3\text{H}_2\text{O}$ (V).

Апробация работы. Основные результаты работы докладывались на XI Международной научно-технической конференции «Наукоемкие химические технологии» (Самара, 2006); Международной научной

конференции «Химия, химическая технология и биотехнология на рубеже тысячелетий» (Томск, 2006); Международной научной конференции «Фундаментальные и прикладные проблемы современной химии в исследованиях молодых ученых» (Астрахань, 2006); XLIV Международной конференции «Студент и научно-технический прогресс» (Новосибирск, 2006); VIII, IX, X, XI Международных конференциях «Химия-XXI век: Новые технологии, новые продукты» (Кемерово, 2005, 2006, 2008, 2009); VII и VIII Всероссийских научно-практических конференциях студентов и аспирантов «Химия и химическая технология в XXI веке» (Томск, 2006, 2007); X Международной конференции «Физико-химические процессы в неорганических материалах» (Кемерово, 2007); Общероссийской научной конференции «Полифункциональные химические материалы и технологии» (Томск, 2007); Общероссийской научной конференции «Полифункциональные наноматериалы и технологии» (Томск, 2008).

Публикации. По теме диссертации опубликовано 19 работ, в том числе 7 статей, 12 материалов и тезисов докладов. В журналах, рекомендованных ВАК РФ, опубликовано 5 статей.

Структура и объем работы. Диссертация состоит из введения, четырех глав, выводов и списка цитируемой литературы (103 наименований). Работа изложена на 124 страницах, содержит 52 рисунка и 20 таблиц.

КРАТКОЕ СОДЕРЖАНИЕ РАБОТЫ

Во введении обоснована актуальность темы, сформулированы цели и задачи исследования, показана научная новизна и практическая значимость работы.

В первой главе рассмотрены имеющиеся данные по моно- и полиядерным моноэтаноламиновым комплексам кобальта(II, III) и меди(II). Отмечено, что все известные соединения получены из неводных растворов.

Во второй главе описаны методики синтеза координационных соединений кобальта(II, III) и меди(II) с МЭА из водных растворов, а также приведены результаты химического анализа синтезированных соединений.

В третьей главе дана характеристика физических методов исследования, применявшихся с целью установления строения, физических свойств и структурных характеристик соединений.

В четвертой главе представлены результаты исследований комплексных соединений методами магнетохимии, кондуктометрии,

термогравиметрии, электронной, ИК и ЯМР спектроскопии, рентгенофазового и рентгеноструктурного анализов.

Синтез и исследование комплексного соединения состава [Co(OC₂H₄NH₂)₃]·3H₂O

Синтез комплексного соединения [Co(OC₂H₄NH₂)₃]·3H₂O (V) осуществляли при взаимодействии CoCl₂·6H₂O и KOH (мольное соотношение 1:3) с добавлением МЭА при мольных соотношениях CoCl₂·6H₂O:МЭА = 1:16 в водном растворе.

В ИК спектре [Co(OC₂H₄NH₂)₃]·3H₂O наблюдали полосу поглощения при 3318 см⁻¹, которая отнесена к валентным колебаниям ОН-группы МЭА. Область поглощения ν(CO) при 1036 см⁻¹ свидетельствует о координации лиганда через атом кислорода, так как наблюдается смещение данной полосы в длинноволновую область на 10 см⁻¹, по отношению к спектру МЭА. Полосы, наблюдаемые в области 3280-3170 см⁻¹, отнесены к антисимметричным и симметричным валентным колебаниям связей ν(NH). Сложность спектров в этой области не позволила установить участие NH-группы в координации с центральным ионом. В ИК спектре [Co(OC₂H₄NH₂)₃]·3H₂O в области деформационного колебания δ(NH) наблюдается расщепление полосы поглощения при 1610 и 1580 см⁻¹. Кроме того в области вверных колебаний NH-группы также наблюдается расщепление полос при 907 и 892 см⁻¹. Такое расщепление полос наблюдается в ИК спектрах *fac*-изомеров и отсутствует в таких же спектрах их *mer*-изомеров. В отличие от спектра лиганда, в спектре [Co(OC₂H₄NH₂)₃]·3H₂O появляются полосы в области 470-500 см⁻¹, которые относятся к полосам валентных колебаний связей Co-N и Co-O.

В электронных спектрах поглощения (ЭСП) раствора [Co(OC₂H₄NH₂)₃]·3H₂O наблюдаются две полосы поглощения, которые, мы отнесли к *d-d* переходу при 27770 и 20500 см⁻¹. Для низкоспиновых комплексов кобальта(III) переходами, разрешенными по спине, являются ¹A_{1g}→¹T_{1g} и ¹A_{1g}→²T_{2g}. Следовательно, получен октаэдрический низкоспиновый комплекс кобальта(III). Полученные сведения о ЭСП раствора [Co(OC₂H₄NH₂)₃]·3H₂O находятся в соответствии с данными по магнитной восприимчивости комплекса. Известно, что низкоспиновые комплексы кобальта(III) диамагнитны (табл. 1). На основании данных ЭСП и ИК спектроскопии выяснено, что МЭА с кобальтом(III) образует октаэдрический трис-хелатный комплекс *fac*-конфигурации.

Электропроводность свежеприготовленного водного раствора комплекса [Co(OC₂H₄NH₂)₃]·3H₂O практически равна электропроводности растворителя, т. е. комплекс является неэлектролитом (табл. 1).

Таблица 1

Свойства комплексов кобальта(II, III) и меди(II) с МЭА			
Соединение	λ , $\text{Ом}^{-1} \cdot \text{см}^2 \cdot \text{моль}^{-1}$	$\mu_{\text{эфф}}$, м. Б	Окраска
I	657	0	красная
II	660	3.32	сине-фиолетовая
III	648	3.49	фиолетовая
IV	650	3.67	синяя
V	19	0	лиловая
VI	590	1.35	желтая

Аминозилат кобальта(III) $[\text{Co}(\text{OC}_2\text{H}_4\text{NH}_2)_3] \cdot 3\text{H}_2\text{O}$ (V) получен в виде красно-фиолетовых кристаллов. Кристаллы соединения V относятся к тригональной сингонии. Параметры решетки: $a = 14.5236(3)$, $c = 4.9346(2)$ Å, $V = 901.43(5)$ Å³, $\rho_{\text{выч}} = 1.620$ г/см³, $Z = 3$, пр. гр. R3. Кристаллографические характеристики комплекса V представлены в табл. 2.

А. П. Гуля с соавторами [1] расшифрована кристаллическая структура красно-фиолетовой модификации $[\text{Co}(\text{OC}_2\text{H}_4\text{NH}_2)_3] \cdot 3\text{H}_2\text{O}$, в которой обнаружена позиционная разупорядоченность NH_2 -групп и атомов кислорода. При этом один из вариантов интерпретации разупорядоченной структуры предполагает тригонально-призматическое строение координационного узла CoN_3O_3 , нехарактерное для комплексов кобальта(III) с бидентатно-циклическими лигандами. В пространственной группе R3 атом кобальта лежит на оси третьего порядка, связывающей три лиганда депротонированного МЭА. Таким образом, имеется по одному независимому атому азота и кислорода лигандов. В модели, предложенной ранее, атом кислорода МЭА разупорядочен по двум позициям с равным вкладом, в то время как атом азота упорядочен. Авторы интерпретируют полученную картину как «наложение двух равновероятных полиэдрических изомеров $[\text{Co}(\text{OC}_2\text{H}_4\text{NH}_2)_3] \cdot 3\text{H}_2\text{O}$ с октаэдрическим и тригонально-призматическим окружением Co(III) соответственно» [1]. Проведенное уточнение координат всех неводородных атомов в анизотропном приближении приводит к величине $R_1 = 0.0465$. При этом максимальный пик (Q1) на карте разностной электронной плотности имеет величину $1.38 \text{ e} \cdot \text{Å}^{-3}$. Анализ его расположения свидетельствует о том, что это второе положение атома азота или кислорода, не замеченное ранее. «Расщепление» атома N по двум позициям, одна из которых такая же, как и в ранних работах, а вторая отвечает пику Q1, приводит к снижению

фактора расходимости. Для нахождения позиций кислорода и азота, затрудненной близостью атомных факторов рассеяния, проанализированы уточненные длины связей Co с донорными атомами МЭА в полученной модели.

Таблица 2
Кристаллографические характеристики комплексов I, III и V

Параметры	Значение		
	I	III	V
Эмпирическая формула	$C_{12}H_{41}Cl_5Co_3N_6O_7$	$C_{12}H_{41}Cl_5Co_3N_6O_7$	$C_6H_{24}CoN_3O_6$
Молярная масса, г/моль	735.55	735.55	293,21
Сингония	Моноклинная	Моноклинная	Тригональная
Пр. гр.	$P2_1/n$	$P2_1/n$	R3
Z	4	4	3
a, Å	8.7451(2)	8.7400(2)	14.5236(3)
b, Å	14.5009(4)	14.5219(5)	
c, Å	22.1663(5)	22.1419(6)	4.9346(2)
β , град.	91.3000(10)	91.3500(1)	
V, Å ³	2810.23(12)	2809.50(14)	901.43(5)
$\rho_{\text{выч}}$, г/см ³	1.739	1.742	1.620

По данным Кембриджской базы структурных данных в 8 кристаллических структурах, содержащих 32 циклических фрагмента Co(Eta), связи Co-N в среднем длиннее Co-O, хотя распределения и перекрываются. На основании этого атом N помещен во «второе положение атома O», и, соответственно, атом O в позицию Q1, отвечающую «второму положению атома N». Это привело к дальнейшему снижению R-фактора. Последующее уточнение кратностей занятости позиций разупорядоченных атомов с фиксацией изотропных параметров атомных смещений привело к величинам 0.65 и 0.35. Окончательное уточнение в анизотропном для основной компоненты приближении с фиксацией факторов занятости позволяет снизить величину R_i до 0.0330, то есть более чем на 1 % по сравнению с исходной. В полученной модели длины связей Co-N превышают таковые для Co-O в согласии с литературными данными.

Таким образом, полученные структурные данные не подтверждают существование тригонально-призматического изомера V. В кристалле с

разным вкладом (65 % и 35 %) «налагаются друг на друга» два октаэдрических *fac*-комплекса (рис. 1).

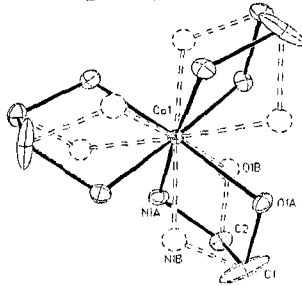


Рис. 1. Структура комплекса $[\text{Co}(\text{OC}_2\text{H}_4\text{NH}_2)_3] \cdot 3\text{H}_2\text{O}$ (V). Положение минорной компоненты показано пунктиром

Они ориентированы противоположным образом относительно оси третьего порядка, полярной пр. гр. $R\bar{3}$. Октаэдрическое окружение атома кобальта(III) образовано атомами O и N трех остатков этаноламина. Максимальное отклонение валентных углов при атоме кобальта от идеальных для октаэдра значений 90° составляет 3° . Образующиеся пятичленные хелатные циклы CoNC_2O имеют *gosh*-конформацию.

Упаковка в кристалле $[\text{Co}(\text{OC}_2\text{H}_4\text{NH}_2)_3] \cdot 3\text{H}_2\text{O}$ (V) показана на рис. 2. Локализовать атомы водорода не удалось, поэтому о водородных связях можно судить лишь по расстояниям $\text{N} \dots \text{O}$ и $\text{O} \dots \text{O}$.

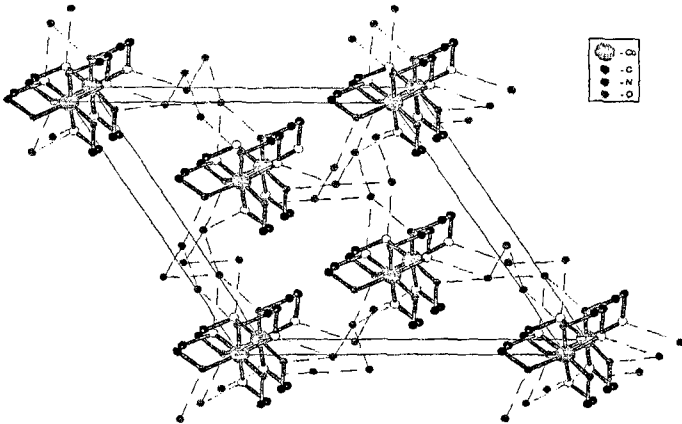


Рис. 2. Упаковка молекул в структуре $[\text{Co}(\text{OC}_2\text{H}_4\text{NH}_2)_3] \cdot 3\text{H}_2\text{O}$ (V). Показано только одно положение разупорядоченного лиганда МЭА, с вкладом 65 %. Укороченные контакты $\text{O} \dots \text{O}$ и $\text{N} \dots \text{O}$, отвечающие водородным связям, изображены пунктиром

Молекулы сольватной воды образуют спирали с расстоянием O...O равными 2.744 Å. Кроме того, OH- и NH₂-группы комплексных молекул также образуют водородные связи с сольватными молекулами воды. Соответствующие расстояния составляют: O...O 2.667, N...O 3.161 Å (ориентация с вкладом 65 %), 3.120 и 2.700 Å (ориентация с вкладом 35 %). Таким образом, в одной ориентации комплекса молекула воды образует сильную водородную связь с OH-группой и слабую – с NH₂-группой, в другой ориентации – наоборот, при этом молекула воды может также менять ориентацию.

При нагревании соединения V до 120 °C на воздухе происходит потеря кристаллизационной воды и цвет комплекса изменяется на коричневый. При нагревании в атмосфере гелия разложение комплекса V сопровождается несколькими основными стадиями потери массы. Первоначально происходит удаление кристаллизационной воды. Дальнейшее разложение протекает в 3 стадии: первая в интервале 160-210 °C, вторая – 220-260 °C, третья – 460-510 °C. Потеря массы на первой стадии составляет 28 %, на второй – 17 %, на третьей – 25 %. Разложение соединения практически завершается до 600 °C.

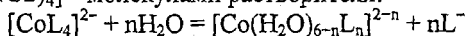
Синтез и исследование комплексных соединений состава
[Me₂(OC₂H₄NH₂)₃(HOC₂H₄NH₂)₃][MeCl₄]Cl·H₂O и
[Me₂(OC₂H₄NH₂)₃(HOC₂H₄NH₂)₃][Me(NCS)₄]NCS·H₂O

Соединения [Co₂(OC₂H₄NH₂)₃(HOC₂H₄NH₂)₃][CoCl₄]Cl·H₂O (I) – комплекс красного цвета и [Cu(OC₂H₄NH₂)(HOC₂H₄NH₂)₂][CuCl₄]·H₂O (VI) – желтый, образуются при взаимодействии CoCl₂·6H₂O и CuCl₂·2H₂O с МЭА при мольном соотношении 1:10 в водном растворе при нагревании (pH ≈ 6); вещество [Co₂(OC₂H₄NH₂)₃(HOC₂H₄NH₂)₃][CoCl₄]Cl·H₂O (II) – сине-фиолетового цвета – при взаимодействии CoCl₂·6H₂O с МЭА при мольном соотношении 1:10 в водном растворе (pH ≈ 6); соединение [Co₂(OC₂H₄NH₂)₃(HOC₂H₄NH₂)₃][CoCl₄]Cl·H₂O (III) – фиолетового цвета, образуется из соединений I и II при хранении их на воздухе в течение шести месяцев. Комплекс [Co₂(OC₂H₄NH₂)₃(HOC₂H₄NH₂)₃][Co(NCS)₄]NCS·H₂O (IV) получен при взаимодействии соединения I с водным раствором NH₄NCS.

В ИК спектрах полученных комплексных соединений I, II, III, IV и VI полосы поглощения, соответствующие антисимметричным и симметричным валентным колебаниям связей ν(NH) в свободном лиганде, смещаются при его координации в длинноволновую область на 50-100 см⁻¹. Полосы, отвечающие плоским деформационным колебаниям NH-группы, также смещаются на 10-30 см⁻¹ по сравнению с "чистым" МЭА. Полосы, наблюдаемые в области 3350-3620 см⁻¹, отнесены к валентным колебаниям OH-групп молекул воды и МЭА. Сложность

спектров в этой области для соединений I, II, III, IV и VI не позволила установить участие спиртового гидроксида в координации с центральным ионом. Смещение $\nu(\text{CO})$ в длинноволновую область на $5\text{--}50\text{ см}^{-1}$ по отношению к спектру МЭА свидетельствует о координации органического лиганда с комплексообразователями через атом кислорода. Одинаковый характер поглощения наблюдаемый в интервале $1000\text{--}1200\text{ см}^{-1}$, где проявляются валентные колебания связей C–O, C–C, C–N, может свидетельствовать об одинаковой координации МЭА в исследуемых комплексах I, II, III, IV и VI. Об отсутствии мостиковых NCS-групп в соединении IV говорят положения полос валентных колебаний связи $\nu(\text{CN})$ при 2072 и 2049 см^{-1} . Полоса $\nu(\text{CN})$ расщеплена на две компоненты, что показывает присутствие неодинаковых NCS-групп в комплексе IV. Появление частоты $\nu(\text{CS})$ при 894 см^{-1} позволяет предположить образование тетраэдрического изотиоцианатного комплекса. В отличие от спектра лиганда, в спектрах полученных соединений появляются полосы в области $450\text{--}590\text{ см}^{-1}$, которые относятся к полосам валентных колебаний связей M–N и M–O.

Полученные соединения по значениям молярной электропроводности в воде являются электролитами (табл. 1). Высокие значения молярной электропроводности соединений I, II, III, IV и VI можно объяснить замещением лигандов в комплексных ионах $[\text{CoCl}_4]^{2-}$, $[\text{CuCl}_4]^{2-}$ и $[\text{Co}(\text{NCS})_4]^{2-}$ молекулами растворителя:



где $\text{L} = \text{Cl}^-, \text{NCS}^-$.

Спектры поглощения водных растворов соединений I, II, III и IV имеют асимметричную полосу поглощения кобальта(III) в области $22000\text{--}22470\text{ см}^{-1}$, которая маскирует полосу поглощения обусловленную d-d переходами в $[\text{Co}(\text{H}_2\text{O})_6]^{2+}$.

Данные рентгенофазового анализа не показали наличия примесей исходных веществ, тем самым подтвердив индивидуальность полученных соединений. Комплексы I, II, VI являются изоструктурными в то время как комплексы, III, IV, V, видимо, имеют другую структуру.

В соединениях I, II, III, IV, VI содержатся три парамагнитных атома, что затрудняет расшифровку данных по магнитной восприимчивости (табл. 1). Соединение $[\text{Co}_2(\text{OC}_2\text{H}_4\text{NH}_2)_3(\text{HOC}_2\text{H}_4\text{NH}_2)_3][\text{CoCl}_4]\text{Cl}\cdot\text{H}_2\text{O}$ (I, II и III) получено в виде трех изомеров. Установлено, что магнитные свойства полученных изомеров отличаются. Определение магнитной восприимчивости, проведенное ранее [2], показало, что соединения, содержащие ион $[\text{Co}_2(\text{OC}_2\text{H}_4\text{NH}_2)_3(\text{HOC}_2\text{H}_4\text{NH}_2)_3]^{3+}$, диамагнитны. Это свидетельствует о том, что при их образовании не происходит существенных изменений в электронной структуре центрального иона, по сравнению с внутрикомплексным соединением $[\text{Co}(\text{OC}_2\text{H}_4\text{NH}_2)_3]\cdot 3\text{H}_2\text{O}$ (V). При

тетраэдрической координации кобальта(II), если отсутствует спаривание электронов между атомом кобальта и лигандом, наблюдаемый магнитный момент близок к "только спиновому" значению (3.89 м. Б.) для трех электронов. Полученный магнитный момент для соединений II, III и IV, несколько ниже "только спинового" значения, вполне возможно на кобальт(II) влияет наличие диамагнитного иона $[\text{Co}_2(\text{OC}_2\text{H}_4\text{NH}_2)_3(\text{HOC}_2\text{H}_4\text{NH}_2)_3]^{3+}$. Соединения I – диамагнитно.

Кристаллы соединения красного цвета $[\text{Co}_2(\text{OC}_2\text{H}_4\text{NH}_2)_3(\text{HOC}_2\text{H}_4\text{NH}_2)_3][\text{CoCl}_4]\text{Cl}\cdot\text{H}_2\text{O}$ (I) относятся к моноклинной сингонии. Параметры решетки: $a = 8.7451(2)$, $b = 14.5009(4)$, $c = 22.1663(5)$ Å, $\beta = 91.3000(10)^\circ$, $\rho_{\text{выч}} = 1.739$ г/см³, $Z = 4$, пр. гр. $P2_1/n$.

Кристаллы соединения (III) (фиолетового цвета) относятся к моноклинной сингонии. Параметры решетки: $a = 8.7400(2)$, $b = 14.5219(5)$, $c = 22.1419(6)$ Å, $\beta = 91.3500(1)^\circ$, $\rho_{\text{выч}} = 1.742$ г/см³, $Z = 4$, пр. гр. $P2_1/n$.

Кристаллографические характеристики комплексов I и III представлены в табл. 2. По данным рентгеноструктурного анализа комплексы I и III имеют молекулярную структуру ионного типа. Кристаллографически независимая часть структуры I и III (рис. 3) содержит два комплексных катиона, *fac*- $[\text{Co}(\text{OC}_2\text{H}_4\text{NH}_2)_2(\text{HOC}_2\text{H}_4\text{NH}_2)]^+$ (форма А) и *fac*- $[\text{Co}(\text{OC}_2\text{H}_4\text{NH}_2)(\text{HOC}_2\text{H}_4\text{NH}_2)_2]^{2+}$ (форма Б) (рис. 4), анионы $[\text{CoCl}_4]^{2-}$, Cl и молекулу кристаллизационной воды.

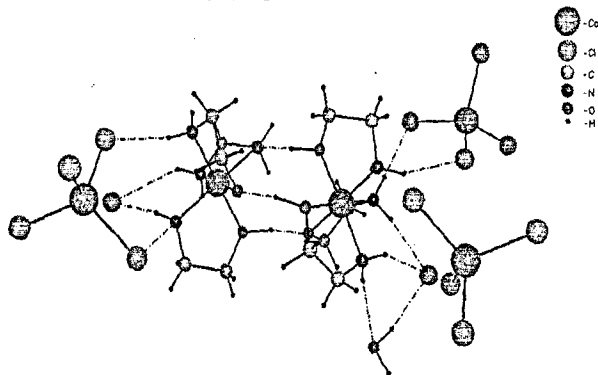


Рис. 3. Строение комплекса $[\text{Co}_2(\text{OC}_2\text{H}_4\text{NH}_2)_3(\text{HOC}_2\text{H}_4\text{NH}_2)_3][\text{CoCl}_4]\text{Cl}\cdot\text{H}_2\text{O}$ (I, III)

В комплексах I и III искаженное октаэдрическое окружение атома кобальта(III) образовано тремя атомами O и тремя атомами N органических лигандов. Образующиеся пятичленные хелатные циклы CoNC_2O имеют *gouh*-конформацию. Анализ длин связей в соединениях I и III однозначно указывает на степень окисления кобальта в комплексах I и III, равную +3.

Упаковка структурных единиц в кристалле I приведена на рис. 5. Характер структуры слоистый. Слои комплексных катионов кобальта, в которых располагаются также анионы Cl^- , и слои комплексных анионов кобальта чередуются друг с другом.

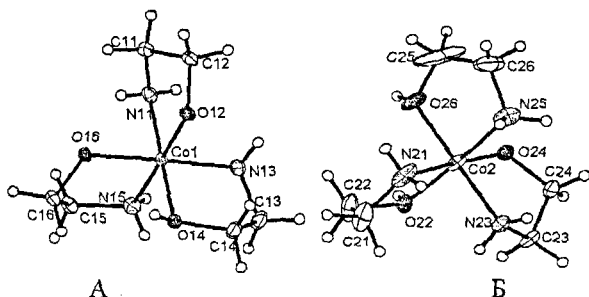


Рис. 4. Катионы в структуре соединения I:
 А) $[\text{Co}(\text{OC}_2\text{H}_4\text{NH}_2)_2(\text{HOC}_2\text{H}_4\text{NH}_2)]^+$;
 Б) $[\text{Co}(\text{OC}_2\text{H}_4\text{NH}_2)(\text{HOC}_2\text{H}_4\text{NH}_2)_2]^{2+}$

Комплексные катионы и свободные анионы Cl^- связаны между собой водородными связями типа $\text{N-H}\cdots\text{Cl}$. Упаковка структурных единиц в кристалле I определяется системой водородных связей типа $\text{N-H}\cdots\text{Cl}$, $\text{N-H}\cdots\text{O}$, а так же $\text{O-H}\cdots\text{Cl}$, $\text{O-H}\cdots\text{O}$. Расстояния Co-Cl в анионе $[\text{CoCl}_4]^{2-}$ (ср. 2.28 Å) не равноценны и различаются на 0.02-0.1 Å, что вызвано участием ионов Cl^- в водородных связях с органическим лигандом.

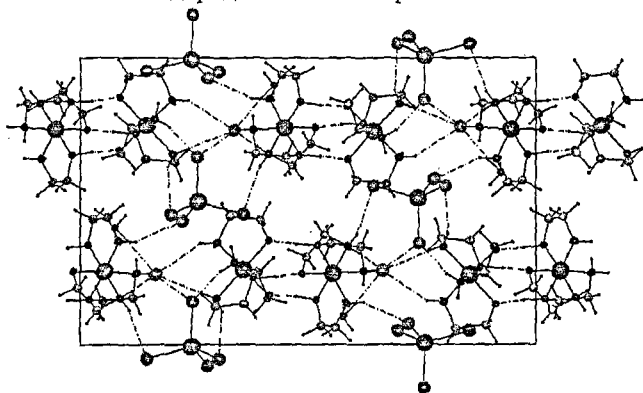


Рис. 5. Кристаллическая упаковка соединения $[\text{Co}_2(\text{OC}_2\text{H}_4\text{NH}_2)_3(\text{HOC}_2\text{H}_4\text{NH}_2)_3][\text{CoCl}_4]\text{Cl}\cdot\text{H}_2\text{O}$ (I). Пунктирными линиями обозначены межмолекулярные водородные связи

Разложение комплексных соединений
 состава $[\text{Me}_2(\text{OC}_2\text{H}_4\text{NH}_2)_3(\text{HOC}_2\text{H}_4\text{NH}_2)_3][\text{MeCl}_4]\text{Cl}\cdot\text{H}_2\text{O}$ и

$[\text{Me}_2(\text{OC}_2\text{H}_4\text{NH}_2)_3(\text{HOC}_2\text{H}_4\text{NH}_2)_3][\text{Me}(\text{NCS})_4]\text{NCS}\cdot\text{H}_2\text{O}$ на воздухе и в инертной атмосфере имеет схожий характер. Соединения I, II, III, IV и VI необратимо теряют кристаллизационную воду в температурном интервале 80-93 °С (в гелии), 80-110 °С (на воздухе). Дальнейшее разложение соединений протекает в три стадии, характеризующиеся эндоэффектами. Соединение $[\text{Co}_2(\text{OC}_2\text{H}_4\text{NH}_2)_3(\text{HOC}_2\text{H}_4\text{NH}_2)_3][\text{CoCl}_4]\text{Cl}\cdot\text{H}_2\text{O}$ (I) на воздухе необратимо изменяет окраску на зеленую при 100 °С, при 200 °С соединение становится синим. При нагревании соединения II до 140 °С и соединения III до 180 °С происходит потеря кристаллизационной воды и цвет комплекса изменяется на синий. Разложение веществ практически завершается до 600 °С. Методом РФА и элементного анализа установлено, что продукты разложения на воздухе комплексов при 600 °С представляют собой Co_3O_4 для I, II, III, IV и CuO для VI.

ОСНОВНЫЕ РЕЗУЛЬТАТЫ И ВЫВОДЫ

1. Разработаны условия синтеза и получены из водных растворов соединения состава: $[\text{Co}_2(\text{OC}_2\text{H}_4\text{NH}_2)_3(\text{HOC}_2\text{H}_4\text{NH}_2)_3][\text{CoCl}_4]\text{Cl}\cdot\text{H}_2\text{O}$ (I, II, III); $[\text{Co}_2(\text{OC}_2\text{H}_4\text{NH}_2)_3(\text{HOC}_2\text{H}_4\text{NH}_2)_3][\text{Co}(\text{NCS})_4]\text{NCS}\cdot\text{H}_2\text{O}$ (IV); $[\text{Co}(\text{OC}_2\text{H}_4\text{NH}_2)_3]\cdot 3\text{H}_2\text{O}$ (V); $[\text{Cu}(\text{OC}_2\text{H}_4\text{NH}_2)(\text{HOC}_2\text{H}_4\text{NH}_2)_2][\text{CuCl}_4]\cdot\text{H}_2\text{O}$ (VI).
2. На основании данных электронной и ИК спектроскопии выяснено, что МЭА с $\text{Co}(\text{III})$ образует октаэдрический трис-хелатный комплекс *fac*-конфигурации, где связь МЭА с комплексообразователем осуществляется через атомы азота аминогруппы и кислорода спиртовой группы.
3. Определены кристаллические структуры координационных соединений $[\text{Co}_2(\text{OC}_2\text{H}_4\text{NH}_2)_3(\text{HOC}_2\text{H}_4\text{NH}_2)_3][\text{CoCl}_4]\text{Cl}\cdot\text{H}_2\text{O}$ (I, III) и $[\text{Co}(\text{OC}_2\text{H}_4\text{NH}_2)_3]\cdot 3\text{H}_2\text{O}$ (V). Комплекс $[\text{Co}_2(\text{OC}_2\text{H}_4\text{NH}_2)_3(\text{HOC}_2\text{H}_4\text{NH}_2)_3][\text{CoCl}_4]\text{Cl}\cdot\text{H}_2\text{O}$ (I и III) кристаллизуется в моноклинной сингонии, пр. гр. $P2_1/n$.
4. Установлено, методом рентгеноструктурного анализа, что кристаллическую структуру $[\text{Co}(\text{OC}_2\text{H}_4\text{NH}_2)_3]\cdot 3\text{H}_2\text{O}$ (V) можно представить как результат наложения двух октаэдрических *fac*-комплексов.
5. Найдено, что полиядерный комплекс $[\text{Co}_2(\text{OC}_2\text{H}_4\text{NH}_2)_3(\text{HOC}_2\text{H}_4\text{NH}_2)_3][\text{CoCl}_4]\text{Cl}\cdot\text{H}_2\text{O}$ (I, II, III) может существовать в виде трех модификаций с незначительными различиями в структуре. Показано, что несмотря на малые различия в структуре комплексов, их магнитные свойства отличаются существенным способом.
6. Методом термогравиметрии изучена термическая устойчивость соединений на воздухе и в атмосфере гелия. Установлено, устойчивость соединений при нагревании в инертной атмосфере и на воздухе до 80 °С.

7. Обнаружено необратимое изменение окраски соединения I при 100 и 200 °С, II – при 140 °С, III – при 180 °С. Комплекс $[\text{Co}(\text{OC}_2\text{H}_4\text{NH}_2)_3] \cdot 3\text{H}_2\text{O}$ (V) изменяет цвет при 120 °С.

Цитируемая литература

1. Гуля, А. П. Полиэдрическая изомерия fac-[трис-(β-аминоэтилата)кобальта(III)]тригидрата / А. П. Гуля, Ю. В. Кокунов, С. Г. Шова, М. Д. Мазус, В. Ф. Рудик, Е. Н. Кириак, Ю. А. Буслаев // Доклады АН СССР. – 1989. – Т. 305, № 3. – С. 627-631.
2. Bertrand, J. A. Polynuclear Complexes with Hydrogen-Bonded Bridges.
3. ¹² Oxygen-Oxygen Hydrogen Bonding between Tris Chelates of 2-Aminoethanol / P. Gary Eller, Etsuko Fujita, D. G. VanDerveer // Inorg. Chem. – 1978. – Vol. 18, No. 9. – P. 2419-2423.

Основные материалы диссертации опубликованы в следующих работах:

1. Михайленко, Ю. А. Синтез и изучение моноэтаноламиновых комплексов некоторых 3d-металлов / Ю. А. Михайленко, Т. Г. Черкасова // Химия XXI век: новые технологии, новые продукты: Сб. матер. Междунар. науч.-практ. конф. – Кемерово. – 2005. – С. 164-165.
2. Черкасова Т. Г. Синтез комплексных соединений 3d-металлов и лантаноидов с органическими и неорганическими лигандами / Т. Г. Черкасова, Э. С. Татарина, Е. А. Герасимова, Е. В. Черкасова, Т. В. Уткина, Ю. А. Михайленко, Е. Г. Гумбрис // Вестник ЗСО РАЕН. – 2006. – Вып. 8. – С. 111-113.
3. Михайленко, Ю. А. Смешанновалентный комплекс хлорида кобальта с моноэтаноламином / Ю. А. Михайленко, Т. Г. Черкасова // Вестник Кузбасс. гос. технич. ун-та. – 2006. – № 2. – С. 92-93.
4. Черкасова, Е. В. Новые полиядерные разнолигандные комплексы металлов / Е. В. Черкасова, Ю. А. Михайленко, Е. Г. Гумбрис, Т. Г. Черкасова // Научно-технологии: XI Междунар. науч.-техн. конф. – Самара. – 2006. – С. 227-228.
5. Черкасова, Е. В. Получение и исследование новых полиядерных разнолигандных комплексов / Е. В. Черкасова, Ю. А. Михайленко, Е. Г. Гумбрис // Студент и научно-технический прогресс: Матер. XLIV Междунар. науч. студ. конф. – Новосибирск. – 2006. – С. 117.
6. Черкасова, Е. В. ИК-спектроскопическое исследование смешаннолигандных полиядерных комплексов / Е. В. Черкасова, Ю. А. Михайленко, Е. Г. Гумбрис, И. В. Исакова // Фундамент. и прикладные проблемы соврем. химии в исследованиях молодых ученых: Матер. Междунар. науч. конф. – Астрахань. – 2006. – С. 109-110.
7. Черкасова, Е. В. Смешаннолигандные полиядерные комплексы металлов с ионной кристаллической структурой /

- Е. В. Черкасова, Ю. А. Михайленко, Е. Г. Гумбрис, Т. Г. Черкасова // Химия, хим. технология и биотехнол. на рубеже тысячелетий: Матер. Междунар. науч. конф. – Томск. – 2006. – Т. 1. – С. 157-158.
8. Михайленко, Ю. А. Физико-химическое исследование моноэтаноламиновых комплексов кобальта и никеля // Химия и хим. технология в XXI веке: Тез. докл. VII Всеросс. науч.-практ. конф. студ. и аспирантов. – Томск. – 2006. – С. 31.
9. Михайленко Ю. А. Полиядерные комплексы кобальта с тетрахлоорокобальтат(II)-анионом // Химия и хим. технология в XXI веке: Тез. докл. VIII Всеросс. науч.-практ. конф. студ. и аспирантов. – Томск. – 2007. – С. 58.
10. Михайленко. Ю. А. Исследование условий взаимодействия хлорида кобальта(II) с моноэтаноламином / Ю. А. Михайленко, Т. Г. Черкасова // Физико-хим. процессы в неорганич. материалах: Междунар. конф. – Кемерово. – 2007. – С. 133-134.
11. Михайленко. Ю. А. Комплексные соединения хлоридов 3d-металлов с моноэтаноламином / Ю. А. Михайленко, Т. Г. Черкасова // Полифункц. хим. матер. и технологии: Матер. общеросс. с междунар. участием науч. конф. – Томск. – 2008. – Т. 1. – С. 35.
12. Михайленко Ю. А. Хромотропные свойства некоторых переходных металлов / Ю. А. Михайленко, Т. В. Уткина, О. В. Каткова // Полифункциональные наноматериалы и нанотехнологии. – Томск. – 2008. – С. 35-37.
13. Михайленко, Ю. А. ИК-спектроскопическое исследование полиядерного комплекса меди(II) // Химия-XXI век: новые технологии, новые продукты: Труды IX Междунар. науч.-практ. конф. – Кемерово. – 2008. – С. 189-191.
14. Михайленко, Ю. А. Термическое разложение комплексов кобальта с моноэтаноламином / Ю. А. Михайленко, Б. Г. Трясунов // Ползуновский вестник. – 2008. – № 3. – С. 55-57.
15. Михайленко, Ю. А. Координационные соединения хлорида кобальта(II) с ϵ -капролактамом и моноэтаноламином // Ю. А. Михайленко, К. С. Зубов, Т. Г. Черкасова // Изв. вузов. Химия и хим. технология. – 2008. – Т. 51, № 11. – С. 7-9.
16. Михайленко, Ю. А. Комплексные соединения кобальта с изотиоцианат-ионом и бидентатными органическими лигандами / Ю. А. Михайленко, О. В. Каткова // Ползуновский вестник. – 2008. – № 3. – С. 19-21.
17. Михайленко, Ю. А. Синтез и структура кристаллов $[\text{Co}_2(\text{NH}_2\text{CH}_2\text{CH}_2\text{O})_3(\text{NH}_2\text{CH}_2\text{CH}_2\text{OH})_3][\text{CoCl}_4]\text{Cl}\cdot\text{H}_2\text{O}$ / Ю. А. Михайленко, Е. В. Пересыпкина, А. В. Вировец, Т. Г. Черкасова // Журн. неорганич. химии. – 2009. – Т. 54, № 4. – С. 623-626.

18. Михайленко, Ю. А. Внутрикмплексное соединение кобальта(III) с моноэтаноламином / Ю. А. Михайленко, Т. Г. Черкасова // Вестник Кузбасс. гос. технич. ун-та. – 2009. – № 2. – С. 106-107.
19. Михайленко, Ю. А. Исследование термического разложения комплекса кобальта(III) с моноэтаноламином // XI Междунар. конф. «Химия-XXI век». – Кемерово. – 2009. – С. 233-234.

Подписано в печать 09.2009. Формат 60×84/16
Бумага офсетная. Уч.-изд. л. 1,2.
Отпечатано на ризографе. Тираж 100 экз. Заказ 697
ГУ КузГТУ, 650000, Кемерово, ул. Весенняя, 28.
Типография ГУ КузГТУ, 650000, Кемерово, ул. Д. Бедного, 4а.